



Semnan University

Journal of Modeling in Engineering

Journal homepage: <https://modelling.semnan.ac.ir/>

ISSN: 2783-2538



Research Article

Optimizing the Nuclear Concentration Measuring System of the Cutter Suction Dredger Using MCNPX Monte Carlo Code

Mojtaba Askari ^{a,*}, Mohsen Sharifzadeh ^a, Ali Taheri ^a

^a Radiation Application Research School, Nuclear Science and Technology Research Institute, Tehran, Iran

PAPER INFO

Paper history:

Received: 2024-02-06
Revised: 2024-05-15
Accepted: 2024-05-26

Keywords:

Optimization;
Nuclear concentration
measuring system;
Dredger;
Cutter suction;
Monte Carlo;
MCNPX.

ABSTRACT

Using a dredger to remove mud and garbage accumulated in the river or sea docks is a common and important process. In order to monitor the condition of sediments on the sea bed, it is necessary to use an online measurement system for the concentration of transfer slurry from the floor to the surface. The nuclear-based systems have this important and operational capability to provide the possibility of online monitoring of the passing slurry by installing it on the pipeline without causing any disruption in the transfer process. The concentration measurement system of the cutter-suction dredger uses the combination of two nuclear and non-nuclear parts to measure the fluid parameters desired by the client, such as the volumetric and mass flow rate of the two-phase fluid and its components. In using hybrid systems for this purpose, basic conditions such as online measurement capability, non-physical, chemical or environmental interference in the passing flow, compatibility with the operational conditions of temperature, pressure, humidity and vibrations in the dredging site, measurement accuracy should be met and safety principles should be considered. In this study, using Monte Carlo simulation with MCNPX code, the effect of different geometrical and dimensional parameters of output gamma ray collimator on the accuracy of measuring the concentration of passing slurry was investigated, and with the considerations related to personnel radiation safety, the final optimal mode was proposed. The decrease in the placement depth of the horizontal spring inside the beam is associated with the simultaneous maximum of gradient and count statistics. In all of the mentioned situations, the opening of the conical beam-forming aperture has a higher sensitivity and resolution compared to a rectangular one.

DOI: <https://doi.org/10.22075/jme.2024.33210.2618>

© 2024 Published by Semnan University Press.

This is an open access article under the CC-BY 4.0 license. (<https://creativecommons.org/licenses/by/4.0/>)

* Corresponding author.

E-mail address: moasgari@aeoi.org.ir

How to cite this article:

Askari, M., Sharifzadeh, M., & Taheri, A. (2024). Optimizing the nuclear concentration measuring system of the cutter suction dredger using MCNPX Monte Carlo code. Journal of Modeling in Engineering, 22(79), 243-254. doi: 10.22075/jme.2024.33210.2618

مقاله پژوهشی

بهینه‌سازی باریکه‌ساز غلظت‌سنچ هسته‌ای لایروب برندۀ‌مکش با استفاده از کد مونت کارلو MCNPX

مجتبی عسکری^{۱*}، محسن شریف‌زاده^۱، علی طاهری^۱

اطلاعات مقاله	چکیده
دريافت مقاله: ۱۴۰۲/۱۱/۱۷	استفاده از لایروب به منظور برداشت گل و لای و زباله‌های انباشت‌شده در رودخانه و یا اسکله‌های دریایی روندی مرسوم و با اهمیت است. به منظور نظارت بر وضعیت رسوبات کف آب نیاز است از یک سامانه اندازه‌گیری پرخط غلظت دوغاب انتقالی از کف به سطح استفاده شود. سامانه‌های مبتنی بر فناوری‌های هسته‌ای دارای این قابلیت مهم و عملیاتی هستند که با نصب بر روی خط لوله، بدون آنکه در فرایند انتقال خلی ایجاد کند امکان نظارت پرخط بر دوغاب عبوری را فراهم آورند. سیستم غلظت‌سنچ لایروب برندۀ‌مکش از ترکیب دو بخش هسته‌ای و غیرهسته‌ای برای اندازه‌گیری پارامترهای سیالاتی مورد نظر کارفرما نظیر دبی حجمی و جرمی سیال دوفازی و مولفه‌های آن بهره می‌برد. در بکارگیری سامانه‌های ترکیبی برای این منظور با استیم شروط اساسی نظیر قابلیت اندازه‌گیری پرخط، عدم دخالت فیزیکی، شیمیایی و یا زیست محیطی در جریان عبوری، سازگاری با شرایط عملیاتی دما، فشار، رطوبت و ارتعاشات در محل لایروب، دقت اندازه‌گیری و اصول ایمنی مورد نظر قرار گیرد. در این مطالعه با استفاده از شبیه‌سازی مونت کارلو با کد MCNPX تاثیر پارامترهای مختلف هندسی و ابعادی یکسوساز پرتو گامای خروجی بر دقت اندازه‌گیری غلظت دوغاب عبوری، برسی و با ملاحظات مربوط به ایمنی پرتوی پرسنل، حالت بهینه نهایی پیشنهاد گردید. کاهش عمق قرارگیری چشمۀ افقی درون باریکه‌ساز با بیشینه همزمان گرادیان و آمار شمارش همراه است. در تمام وضعیت‌های یادشده گشودگی دهانه باریکه ساز مخروطی نسبت به مستطیلی از حساسیت و توان تفکیک بالاتری برخوردار است.
بازنگری مقاله: ۱۴۰۳/۰۲/۲۶	بهینه‌سازی،
پذیرش مقاله: ۱۴۰۳/۰۳/۰۶	غلظت‌سنچ هسته‌ای، لایروب، برندۀ‌مکش، مونت کارلو، . MCNPX
	واژگان کلیدی:

استفاده از لایروب به منظور برداشت گل و لای و زباله‌های انباشت‌شده در رودخانه و یا اسکله‌های دریایی روندی مرسوم و با اهمیت است. به منظور نظارت بر وضعیت رسوبات کف آب نیاز است از یک سامانه اندازه‌گیری پرخط غلظت دوغاب انتقالی از کف به سطح استفاده شود. سامانه‌های مبتنی بر فناوری‌های هسته‌ای دارای این قابلیت مهم و عملیاتی هستند که با نصب بر روی خط لوله، بدون آنکه در فرایند انتقال خلی ایجاد کند امکان نظارت پرخط بر دوغاب عبوری را فراهم آورند. سیستم غلظت‌سنچ لایروب برندۀ‌مکش از ترکیب دو بخش هسته‌ای و غیرهسته‌ای برای اندازه‌گیری پارامترهای سیالاتی مورد نظر کارفرما نظیر دبی حجمی و جرمی سیال دوفازی و مولفه‌های آن بهره می‌برد. در بکارگیری سامانه‌های ترکیبی برای این منظور با استیم شروط اساسی نظیر قابلیت اندازه‌گیری پرخط، عدم دخالت فیزیکی، شیمیایی و یا زیست محیطی در جریان عبوری، سازگاری با شرایط عملیاتی دما، فشار، رطوبت و ارتعاشات در محل لایروب، دقت اندازه‌گیری و اصول ایمنی مورد نظر قرار گیرد. در این مطالعه با استفاده از شبیه‌سازی مونت کارلو با کد MCNPX تاثیر پارامترهای مختلف هندسی و ابعادی یکسوساز پرتو گامای خروجی بر دقت اندازه‌گیری غلظت دوغاب عبوری، برسی و با ملاحظات مربوط به ایمنی پرتوی پرسنل، حالت بهینه نهایی پیشنهاد گردید. کاهش عمق قرارگیری چشمۀ افقی درون باریکه‌ساز با بیشینه همزمان گرادیان و آمار شمارش همراه است. در تمام وضعیت‌های یادشده گشودگی دهانه باریکه ساز مخروطی نسبت به مستطیلی از حساسیت و توان تفکیک بالاتری برخوردار است.

DOI: <https://doi.org/10.22075/jme.2024.33210.2618>

© 2024 Published by Semnan University Press.

This is an open access article under the CC-BY 4.0 license. (<https://creativecommons.org/licenses/by/4.0/>)

عملیاتی دما، فشار، رطوبت و ارتعاشات در محل لایروب، دقت اندازه‌گیری و اصول ایمنی مورد نظر قرار گیرد. سامانه‌های جرم‌سنجی متشكل از یک واحد غلظت‌سنچ هسته‌ای در کنار جریان‌سنچ مغناطیسی گزینه‌ای مناسب هستند که این شروط اساسی را برآورده می‌سازند. جریان‌سنچ مغناطیسی بر اساس قانون القای مغناطیسی فارادی به عنوان دستگاهی ایده‌آل برای اندازه‌گیری سرعت کلیه سیالاتی دارای هدایت الکتریکی بیش از ۵

۱- مقدمه غلظت‌سنچ هسته‌ای لایروب برندۀ‌مکش از ترکیب دو بخش هسته‌ای و غیرهسته‌ای برای اندازه‌گیری پارامترهای مورد نظر کارفرما نظیر دبی حجمی و جرمی سیال دوفازی و مولفه‌های آن بهره می‌برد. در بکارگیری سامانه‌های ترکیبی برای این منظور با استیم شروط اساسی نظیر قابلیت اندازه‌گیری پرخط، عدم دخالت فیزیکی، شیمیایی و یا زیست محیطی در جریان عبوری، سازگاری با شرایط عملیاتی دما، فشار، رطوبت و ارتعاشات در محل لایروب، دقت اندازه‌گیری غلظت دوغاب عبوری، برسی و با ملاحظات مربوط به ایمنی پرتوی پرسنل، حالت بهینه نهایی پیشنهاد گردید. کاهش عمق قرارگیری چشمۀ افقی درون باریکه‌ساز با بیشینه همزمان گرادیان و آمار شمارش همراه است. در تمام وضعیت‌های یادشده گشودگی دهانه باریکه ساز مخروطی نسبت به مستطیلی از حساسیت و توان تفکیک بالاتری برخوردار است.

* پست الکترونیک نویسنده مسئول: moasgari@aeoi.org.ir

۱. پژوهشکده کاربرد پرتوها، پژوهشگاه علوم و فنون هسته‌ای، تهران، ایران

استناد به این مقاله:

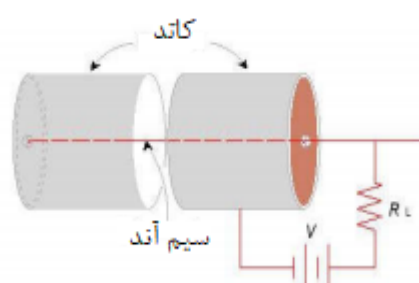
استفاده از طیفنگاری پرتو گاما کم انرژی عبوری از نمونه آب دریا مقدار پارامتر ضریب تضعیف جرمی آب شور و در ادامه کسر نمک موجود در آن اندازه گیری شد [۴]. در تحقیقی توسط جوهانسون و جکسون در سال ۲۰۰۰ بر روی ارائه راهکاری نوین در اندازه گیری کسر گاز موجود در یک ترکیب دوفازی مستقل از شوری کار شد. در این مطالعه به منظور حذف وابستگی تغییرات گاما شمارشی عبوری از ترکیب به شوری، از دو ساز و کار شمارش گاما عبوری و پراکنده از محتوای داخلی لوله جریان به طور همزمان بهره گرفته شد. اساس این طراحی بر داده های سطح مقطع برهمکنش تقریباً یکسان پرتوهای گاما در دو روند متفاوت عبوری و پراکنده است که بدین منظور ناگزیر به استفاده از چشمکه کم انرژی امرسیوم-۲۴۱ شدند [۵]. مطالعات مشابه دیگری نیز در ادامه توسط هولستاد و همکاران در سال ۲۰۰۴ [۶] و ساتره و همکاران در سال ۲۰۱۰ [۷] با استفاده از تلفیق فناوری گاما عبوری و پراکنده برای اندازه گیری کسر فازی گاز درون مخلوط همگن دوفازی و مستقل از وابستگی به شوری صورت پذیرفت. سالگادو و همکارانش در سال ۲۰۱۴ با استفاده از تلفیق شبکه عصبی و پرتو گاما امکان اندازه گیری کسر گاز در مخلوط سه فازی آب-غاز-نفت را در دو رژیم جریانی حلقوی و لایه ای مورد بررسی قرار دادند [۸]. در این روش سعی بر آن شد تا با استفاده از شبکه عصبی الگوی متفاوت موجود در نمودارهای توزیع دیفرانسیلی ارتفاع پالس بهازی مقادیر مختلف شوری موجود در فاز آبی و رژیم جریان استخراج گردد. از چشمکه گاما دوانرژی به همراه آشکارسازهای سوسوزن واقع در دو راستای عبوری و پراکنده و در دو رژیم مورد نظر استفاده شد. نقطه قوت کار در ارائه طرحی است که قادر است با کمک شبکه عصبی و اعمال ضرایب تصحیح تا حدودی اثرات منفی اندازه گیری وابسته به شوری و رژیم را حذف کند. از نقاط ضعف این سامانه استفاده از چشمکه دوانرژی است که در فاز نظری می بایست با اولویت سیار کم انرژی و پرانرژی انتخاب شود که در انرژی پایین همچنان با مشکلات پیشین روبروست. فرید و همکاران در سال ۲۰۲۳ یک روش اندازه گیری هیبریدی جدید برای اندازه گیری چگالی و تفکیک درصد مولفه های جریان سه فازی جامد-مایع-گاز در یک راکتور ستون حباب دوغابی با استفاده از روش های چگالی سنجی پرتو گاما و پروب فیبر نوری نقطه ای ایجاد و به کار گرفتند [۹]. در تحقیقی دیگر توسط

میکروزیمنس بر سانتیمتر کارابی دارد. این جریان سنج ها بسیار دقیق بوده و اندازه گیری جریان توسط آنها مستقل از دانسیته، دما و فشار سیال انجام می گیرد [۱].

چگالی به عنوان یک مقدار استاندارد برای توصیف مواد در تجزیه و سنتز آنها استفاده می شود. اغلب از چگالی برای تعیین غلظت یک ماده در محلول آبی استفاده می شود. امروزه روش های اندازه گیری هسته ای، به دلیل قابلیت غیر تماсی در صنعت بسیار مورد استفاده قرار می گیرند. اساس عملکردی عمدۀ این سامانه ها استفاده از یک یا چند چشمکه تابش یونساز و یک یا چند واحد آشکارسازی پرتو است. پارامترهای سیستم یا فرآیند، از اندازه گیری اندر کنش های بین تابش های یونساز و سیستم یا فرآیند تحت بررسی، حاصل می شود.

در این مطالعه، هدف دستیابی به طراحی بهینه باریکه ساز واحد غلظت سنج هسته ای برای اندازه گیری غلظت گل و لای عبوری از خط لوله فولادی قطره و ضخیم بر روی لایروب برنده-مکش است.

استفاده از چشمکه پرتوزا کالت-۶۰ با انرژی میانگین ۱/۲۵ مگا الکترون ولت به دلیل عمق نفوذ بالا در کنار بکار گیری آشکارسازهای گازی گایگر-مولر که در شرایط محیطی دما، فشار و رطوبت بالا و نیز ارتعاشات لوله بهترین عملکرد شمارشی را دارند گزینه های مناسبی در این مطالعه هستند [۲]. نمایی از آشکارساز گایگر-مولر در شکل (۱) نشان داده شده است. پس از برهمکنش پرتوهای گاما با گاز درون آشکارساز گایگر-مولر و یجاد فرایند یونسازی، فرایند جمع آوری سریع این بار الکتریکی انجام می شود که نتیجه آن تولید جریان الکتریکی است که توسط یک آمپر متر حساس اندازه گیری می شود.



شکل ۱- طرحی از آشکارساز گایگر و نحوه عملکرد آن [۳].

در تحقیقی که توسط باربوسا و همکاران در سال ۲۰۲۱ بر روی توسعه روش غیر تداخلی استفاده از پرتوهای گاما برای اندازه گیری غلظت نمک در آب دریا صورت گرفت، با

در این سامانه با استفاده از قانون تضعیف نمایی بیر-لمبرت پرتوهای گاما عبوری از محتویات درونی لوله مقدار غلظت اندازه‌گیری می‌شود [۱۳]:

$$I = BI_0 e^{-\mu_p \rho \cdot x} \quad (1)$$

که I_0 و I به ترتیب شدت خوانش به ازای شرایط پر شدگی مخزن توسط هوا و دوغاب می‌باشد و μ ضریب تضعیف جرمی، ρ چگالی و x طولی است که پرتوی گاما در دوغاب می‌پیماید تا به آشکارساز برسد. ضریب انباشت پرتوهای گاما، B ، همواره عددی بزرگتر از واحد است که در واقع سهم پرتوهای پراکنده شده از محتوای چگالی میان چشم و آشکارساز را در خوانش نهایی آشکارسازها لحاظ می‌کند. در مواردی نظیر چگالی‌سنچ‌های قفل شده بر روی لوله‌های قطور جریان که فاصله چشم و آشکارساز زیاد است و نیز اعمال کولیماتورهای سربی که تا حدود زیادی مانع از رسیدن این پرتوهای مراحم به درون آشکارسازها می‌شوند و نیز در ادامه بهره‌گیری از پنجره‌های انرژی در سیستم الکترونیکی شمارش می‌توان این ضریب را با دقت مطلوبی برابر با واحد فرض کرد. نسبت دو متغیر I_0 و I به عنوان پارامتر کلیدی در اندازه‌گیری چگالی و در ادامه محاسبه غلظت دوغاب تابع شرایط هندسی و ابعادی باریکه‌ساز است. روش مورد استفاده در این کار تحقیقاتی استفاده از محیط شبیه‌ساز مونت کارلو با هدف بررسی تغییرات شمارش آشکارسازهای پرتوی گاما گسیلی از چشم پرتوزا کیالت-۶۰ بهزادی مقادیر مختلف غلظت دوغاب است. بدین‌منظور تغییرات مقادیر مختلف پارامترهای هندسی و ابعادی باریکه‌ساز چشم و تاثیر در نرخ شمارشی بررسی و به منظور رسیدن به بیشینه دقت در تفکیک مقادیر مختلف غلظت خاک در دوغاب استفاده شد. در انتهای نیز با اعمال محدودیت اینمی پرتوی و مطابق با استانداردهای ملی و بین‌المللی وضع شده در حوزه تنظیم مقررات پرتوی [۱۴] ساختار بهینه نهایی باریکه‌ساز که در بر دارنده بیشینه دقت در اندازه‌گیری و در عین حال رعایت حدود اینمی پرتوی است بدست آمد. در ادامه و برای اعتبارسنجی نتایج حاصل از شبیه‌سازی با نتایج داده‌گیری تجربی، به‌دلیل عدم وجود انعطاف در ساخت و بهره‌گیری و از کلیه طراحی‌های ممکن در باریکه‌سازهای موجود در آزمایشگاه، با استفاده از مقایسه نتایج شبیه‌سازی و تجربی مربوط به حالت خاص باریکه‌ساز موجود در آزمایشگاه، روند تغییرات شمارش بر حسب چگالی

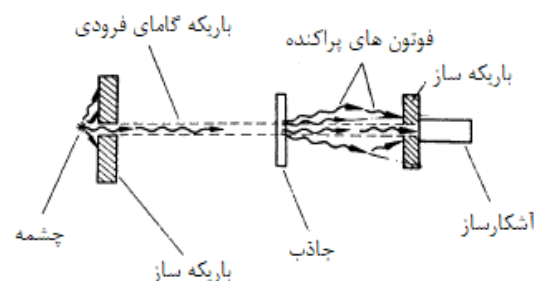
سالگادو و همکارانش در سال ۲۰۲۰ انجام شد رسوب درون خطوط لوله جریان چندفازی آب-گاز-نفت با استفاده از یک شبکه عصبی آموزش‌دیده به کمک داده‌های شبیه‌سازی MCNP6 ترا برد پرتوهای گاما در ماده در محیط نرم‌افزار موردن بررسی قرار گرفت [۱۰]. در مطالعه‌ای که در سال ۲۰۲۳ توسط دم و همکارانش انجام شد کسر حجمی سیال چندفازی عبوری از لوله و نیز میزان رسوب انجام شده باریم-سولفات با بکارگیری دو آشکارساز سوسوزن یدور سدیم برای خوانش پرتوهای گاما عبوری و پراکنده حول لوله اندازه‌گیری شد [۱۱].

همانگونه که در ارتباط با کارهای تحقیقاتی پیشین بیان شد سنجشگرهای گاما نقش مهمی را در صنایع مختلف با هدف اندازه‌گیری غلظت سیال چندفازی و در ادامه آنالیز پارامترهای مختلف برای کنترل فرآیند، تضمین کیفیت و اینمی ایفا می‌کنند. فناوری گاما به دلیل توانایی آنها در نفوذ به مواد و ارائه اطلاعات دقیق در مورد ترکیب آنها، به طور گسترده در شرایط دشوار عملیاتی و بر روی لوله‌های قطور جریان کاربرد دارد.

در این مقاله بهینه‌سازی باریکه‌ساز در سامانه غلظت‌سنچ هسته‌ای از حیث پارامترهای تاثیرگذار و مهم ابعادی، هندسی و اینمی بهمنظور دستیابی به بیشینه دقت در اندازه‌گیری غلظت گل و لای همگن عبوری از خط لوله جریان متصل به لایروب برنده-مکش مورد نظر است. وجه تمایز و نوآوری در این کار تحقیقاتی تمرکز بر شکل‌دهی باریکه خروجی از باریکه‌ساز و بررسی انواع مختلف آن با هدف حصول بیشینه توان تفکیک مقادیر مختلف غلظت گل و لای است.

۲- روش انجام تحقیق

طرحی از اصول اندازه‌گیری یک سامانه غلظت‌سنچ هسته‌ای در شکل (۲) نشان داده شده است.



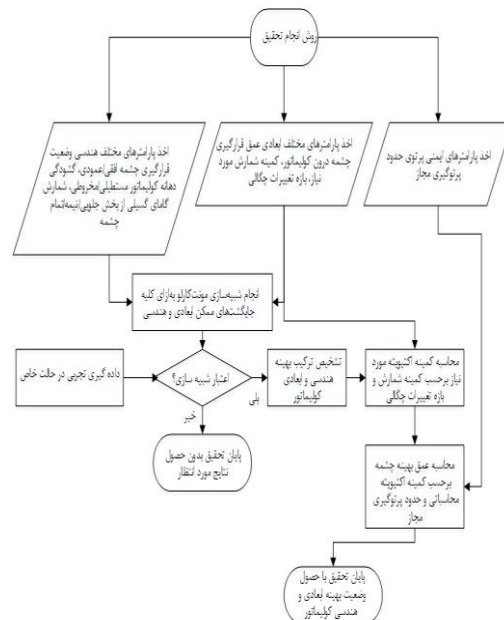
شکل ۲- اجزای تشکیل دهنده بخش هسته‌ای غلظت‌سنچ لایروب [۱۲].

بخش مغناطیسی غلظت سنج لایروب بر پایه القای الکترومغناطیسی فارادی عمل و با اعمال یک میدان مغناطیسی جریان متناوب عبوری از سیم پیچ تعییه شده حول لوله، سیگنال الکتریکی حاصل از فرایند القای الکترومغناطیس را توسط دریافت کننده‌های عمود بر جهت میدان دریافت و در مرحله کالیبراسیون، برای سیال عبوری (آب) با چگالی 1000 گرم بر سانتیمترمکعب و دمای ${}^{\circ}\text{C}$ 28 در محدوده سرعت‌های 0 تا 10 متر بر ثانیه کالیبر می‌گردد.

۱-۲- شبیه‌سازی

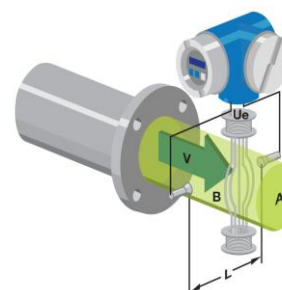
مدلسازی و شبیه‌سازی ابزاری حیاتی در مهندسی است که در حوزه‌های مختلف صنعتی اهمیت زیادی دارد. از طریق مدلسازی و در ادامه شبیه‌سازی، مهندسان می‌توانند طراحی سامانه را بهینه کنند و قبل از راهاندازی نمونه‌های اولیه یا پیاده‌سازی پرهزینه تضمیم‌گیری کنند. یکی از دلایل اصلی اهمیت شبیه‌سازی در مهندسی، توانایی آن در پیش‌بینی و درک رفتار سامانه‌های پیچیده است. مهندسان اغلب با سامانه‌های پیچیده‌ای سر و کار دارند که متغیرهای متعددی را شامل می‌شود [۱۶]. علاوه بر بهینه‌سازی طراحی، شبیه‌سازی به بهبود کارایی و کاهش هزینه‌ها کمک می‌کند [۱۷]. در صنعت هسته‌ای به سبب بهره‌گیری از چشممه‌های پرتوزا و مولدہای پرتوهای یونساز شبیه‌سازی اهمیتی دو چندان می‌یابد. محققان می‌توانند تجربیات ارزشمندی را در کار با مواد و ابزارهای هسته‌ای مختلف از قبیل چشممه‌های پرتوزا و آشکارسازهای مختلف را بدون خطر پرتوگیری با استفاده از شبیه‌سازی به دست آورند. MCNPX به عنوان نمونه توسعه‌یافته کد مونت کارلو MCNP² جهت انجام فرایند شبیه‌سازی مورد استفاده قرار گرفت [۱۸]. مطابق با شکل ۵، از چشممه استوانه‌ای کبالت-۶۰ به طول $4/1$ سانتیمتر و قطر $1/2$ سانتیمتر با انرژی میانگین 1250 کیلو الکترون‌ولت در عمق‌های مختلف 5 ، 10 ، 15 و 20 سانتیمتری درون باریکه‌ساز سربی در شبیه‌سازی استفاده گردید. فرایند داده‌گیری در 2 موقعیت قرارگیری عمودی و افقی چشممه درون باریکه‌ساز و بهزادی 2 وضعیت گشودگی دهانه باریکه‌ساز مخروطی و استوانه‌ای صورت پذیرفت. تالی $F8$ در این فرایند بهمنظور محاسبه آهنگ شمارش دو آشکارساز گایگر-مولر استوانه‌ای با طول 27 سانتیمتر و قطر $2/28$ سانتیمتر در سه حالت ممکن

دوغاب به عنوان معیار اعتبارسنجی مورد استفاده قرار گرفت. پس از تایید همخوانی این نتایج با داده شبیه‌سازی، و با اعتماد به نتایج شبیه‌سازی در سایر مقادیر هندسی و ابعادی ساختار بهینه باریکه‌ساز بدست آمد. نمودار روش تحقیق در شکل (۳) نشان داده شده است.



شکل ۳- نمودار روش انجام تحقیق.

در ادامه نیز با بهره‌گیری از تلفیق بخش هسته‌ای و مغناطیسی امکان اندازه‌گیری همزمان چگالی و دبی حجمی دوغاب بهمنظور محاسبه دبی حجمی خاک اشباع و دبی جرمی خاک خشک عبوری از خط لوله جریان فراهم خواهد شد. طرح اصول اندازه‌گیری یک سامانه غلظت‌سنج هسته‌ای در شکل (۴) نشان داده شده است.



شکل ۴- اجزای تشکیل دهنده بخش مغناطیسی غلظت‌سنج لایروب، (A) سطح مقطع سیال عبوری از لوله جریان، (B) میدان مغناطیسی عمودی بر سیال عبوری سیال، (V) بردار سرعت سیال عبوری، و (Ue) اختلاف پتانسیل الکتریکی القایی [۱۵]

² Monte Carlo N-Particle

چگالی‌های مورد نظر ثبت و محاسبه می‌گردد. بهازای هر مقدار چگالی دوغاب این امکان فراهم است تا با داشتن مقادیر درصد وزنی خاک و آب و نیز ترکیبات عنصری هر کدام، ضرایب فراوانی درصدی تک‌تک عناصر در کارت داده کد مطابق با فرمولاسیون زیر محاسبه و به ورودی برنامه داده شود:

$$wf_j = \sum_i wf_i \cdot \frac{M_j}{M_i} \quad (2)$$

wf_i درصد جرمی خاک رس و آب در دوغاب و wf_j ضریب فراوانی درصدی عنصر j در دوغاب می‌باشد. M_i و M_j نیز به ترتیب وزن اتمی خاک رس و آب و عنصر j در دوغاب است. محدودیت‌های مرتبط با اعمال اصول حفاظت در برابر با اشعه پارامتر مهمی است که می‌تواند پس از انجام شبیه‌سازی، ابعاد و هندسه بخش قبل را تایید کند. کمیت مفیدی که دارای توانایی تفکیک اثرات انواع مختلف پرتوها در بافت‌های مختلف بدن بوده و جهت تعیین حدود پرتوگیری برای اطمینان از وقوع اثرات احتمالی پرتو در محدوده کمتر از آستانه‌های پذیرفتی استفاده می‌شود دز معادل نامیده می‌شود. مقدار دز معادل پرتو R برابر با حاصل ضرب دز متوسط جذب شده ($D_{T,R}$) از این پرتو در بافت T در ضریب توزین پرتو (W_R) است که در یک میدان مختلط پرتو، مقدار دز معادل از جمع اثر همه انواع پرتوها و با استفاده از رابطه زیر محاسبه می‌شود:

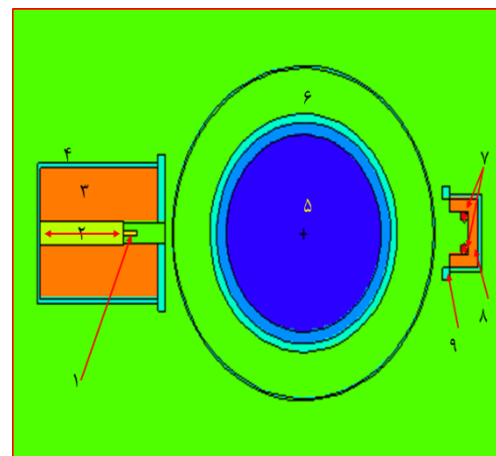
$$H_T = \sum_R W_R \cdot D_{T,R} \quad (3)$$

مقادیر ضریب توزین پرتو ابتدا در کمیته فنی ICRP-60 و تغییرات پیشنهادی در ادامه در ICRP-103 مطرح و مورد پذیرش قرار گرفتند [۲۰ و ۲۱]. یکای این کمیت ژول بر کیلوگرم است که با نام ویژه سیورت بیان می‌شود. آنچه به استناد استانداردهای موجود در این حوزه ضروری است لزوم کاهش میزان دز معادل در ۵ سانتیمتری اطراف باریکه‌ساز چشمۀ تا مقدار ۵۰۰ میکروسیورت بر ساعت برای پرتوکاران می‌باشد [۲۲].

۲-۲- اعتبارسنجی شبیه‌سازی

به منظور اعتبارسنجی نتایج شبیه‌سازی مونت کارلو با نتایج داده‌گیری تجربی و با توجه به عدم وجود انعطاف زیاد در طراحی و ساخت باریکه‌سازهای موجود در آزمایشگاه، نتایج شبیه‌سازی و تجربی مربوط به قرارگیری افقی چشمۀ

سطح فعال درگیر از چشمۀ شامل بخش جلویی، میانی و انتهایی آن استفاده گردید. کلیه شبیه‌سازی‌ها با 10^8 ذره و با خطای بیشینه ۱٪ برای مقادیر چگالی ۱ و $1/6$ گرم بر سانتیمتر مکعب به ترتیب برای آب و خاک رس انجام شد.



شکل ۵- هندسه شبیه‌سازی در محیط مونت کارلو (۱) چشمۀ
حالت قرارگیری افقی (۲) عمق قرارگیری (۳) حفاظت سری (۴)
بدنه استیل (۵) دوغاب (۶) مخزن فلزی (۷) آشکارسازها (۸) قاب
سری و (۹) پوشش استیل قاب آشکارساز.

در ارتباط با چشمۀ آنچه می‌تواند بر روی دقت اندازه‌گیری و قدرت تفکیک مقادیر مختلف غلظت دوغاب موثر باشد در میزان فعالیت پرتوزاپی چشمۀ، نوع و انرژی گسیلی پرتوهای گاما و جنس و هندسه باریکه‌ساز مورد استفاده خلاصه می‌شود. از آنجا که تأمین چشمۀ پرتوزا از اهمیت خاصی برخوردار است با توجه به امکان تولید فعالیت‌های پرتوزا مورد نیاز از چشمۀ کمالت-۶۰ در داخل کشور تمرکز در این کار تحقیقاتی بر روی بهینه‌سازی هندسه باریکه‌ساز و حفاظت آشکارساز برای این چشمۀ صورت گرفت. بدین منظور پارامترهای اساسی هندسی عمق استقرار چشمۀ، قرارگیری عمودی/افقی چشمۀ درون باریکه‌ساز، هندسه گشودگی روزنۀ باریکه‌ساز مخروطی/استوانه ای و سطح فعال درگیر از چشمۀ در اندازه گیری و گسیل پرتو به سمت آشکارساز در سه حالت بخش جلویی، میانی و انتهایی طی فرایند شبیه‌سازی مورد بررسی قرار گرفت.

در آماده‌سازی مقادیر مختلف چگالی دوغاب از ترکیب عنصری خاک جهانی موجود در جدول ۵ مقاله مرجع واپلوبولسکی و همکاران استفاده شد [۱۹]. در ادامه و با اضافه نمودن خاک به استوانه مدرج حاوی مقادیر حجمی و جرمی معین آب واقع بر روی ترازوی دیجیتال، جرم و درصد جرمی خاک لازم برای رسیدن به دوغاب همگن با

V سرعت لحظه‌ای دوغاب عبوری و D نیز قطر لوله جریان است. ρ_s مقدار چگالی خاک اشباع با نمونه‌گیری در محل لایروب قابل اندازه‌گیری است. روش کار به این صورت است که مقداری از دوغاب در ظرفی مدرج واقع بر روی ترازو قرار داده شده و پس از زمان کافی جهت تهشیینی کامل خاک، تمام آب روی این خاک خیس به آرامی برداشته می‌شود. چگالی خاک خیس خورده نهایی تحت عنوان چگالی خاک اشباع ثبت می‌گردد. فرمولاسیون مورد استفاده در محاسبه دبی حجمی خاک اشباع به قرار زیر است:

$$Q_s = Q_{mix} \times \left[\frac{\rho_{mix} - \rho_w}{\rho_s - \rho_w} \right] \quad (6)$$

پس از محاسبه مقدار Q_s و با داشتن مقادیر ρ_{mix} و ρ_s امکان محاسبه دبی حجمی خاک خشک با استفاده از فرمولاسیون زیر فراهم است:

$$M_{ds} = Q_{mix} \times \left[\frac{\rho_{mix} - \rho_w}{\rho_{ds} - \rho_w} \right] \times \rho_{ds} \quad (7)$$

۴-۲ روش تجربی

در انتهای و پس از دستیابی به مقادیر بهینه پارامترهای هندسی، ابعادی و فعالیت چشممه، طراحی و در ادامه ساخت باریکه‌ساز نهایی جهت انجام فرایند تست و داده‌گیری تجربی انجام شد. بدین منظور و پس از ساخت و نصب باریکه‌ساز چشممه و آشکارساز حول لوله، فرایند تحويل خوارک به لوله، همزدن و همگنسازی مطلوب و در نهایت شمارش در بازه زمانی مناسب انجام گردید. نمونه‌های مختلف دوغاب آب و گل پس از اضافه نمودن مقادیر افزایشی خاک به آب درون لوله و همگنسازی و سپس نمونه‌برداری و سنجش چگالی توسط استوانه مدرج واقع بر روی ترازوی دیجیتال آمده و مورد شمارش قرار می‌گیرند. شکل (۶) نمایی از سیستم غلظت‌سنج هسته‌ای مورد استفاده در فرایند داده‌گیری تجربی را نشان می‌دهد.

لازم به ذکر است که پرتوهای گاما در طیف امواج الکترومغناطیسی با سرعتی برابر با سرعت نور در فضا گسیل می‌شوند که با مرتبه بزرگی 10^{-8} برابر سرعت‌های معمول دوغاب عبوری از لایروب، امکان بکارگیری نمونه‌های از پیش آمده شده را در غیاب تست لوب فراهم می‌آورد.

کیالت-۶۰ با فعالیت ۵ میلی‌کوری درون باریکه‌ساز و در عمق ۷ سانتیمتری و با گشودگی دهانه مستطیلی مورد استفاده قرار گرفت.

۳-۲ محاسبات ریاضی

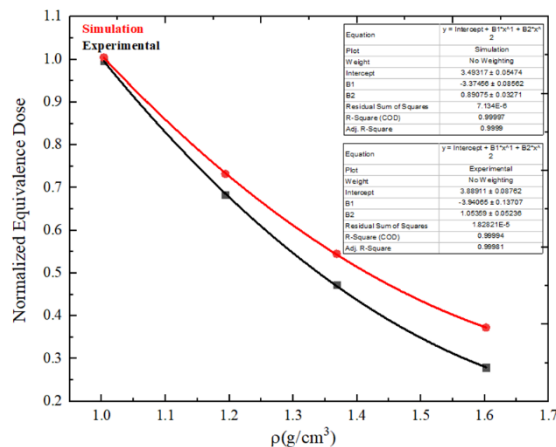
در مرحله نخست اندازه‌گیری دو پارامتر عملیاتی مهم سرعت سیال عبوری از لوله در لحظه و نیز چگالی آن مطرح است. سرعت توسط بخش مغناطیسی غلظت‌سنج اندازه گیری می‌شود و برای اندازه‌گیری چگالی از نرخ شمارش لحظه‌ای آشکارسازهای گایگر-مولر بهره برده می‌شود. در ادامه مسئله اندازه‌گیری به محاسبه کسر حجمی خاک اشباع در دوغاب و سپس کسر خاک خشک در خاک اشباع تقلیل می‌یابد. در نهایت با داشتن مقادیر کسر حجمی، چگالی، سرعت، و سطح مقطع لوله مقادیر دبی حجمی خاک اشباع و جرم کل خاک خشک عبوری از لوله قابل محاسبه است. فرمولاسیون مورد استفاده در محاسبه چگالی لحظه‌ای دوغاب عبوری به قرار زیر است:

$$\rho_{mix} = (\rho_w - \rho_{ds}) \times \left[(1 - \chi_w) \times \left(\frac{\ln(I_{mix}) - \ln(I_S)}{\ln(I_W) - \ln(I_S)} \right) + \chi_w \right] + \rho_{ds} \quad (4)$$

I_W و I_S به ترتیب مقادیر شدت شمارش آشکارساز در شرایطی است که لوله توسط دوغاب، خاک اشباع، و آب پر شده باشد. مقدار کمیت نخست لحظه‌ای و دو کمیت دیگر در مرحله کالیبراسیون اندازه‌گیری می‌شوند. ρ_w مقدار چگالی آب است که با نمونه‌گیری در محل لایروب، مشخص می‌شود. ρ_{ds} مقدار چگالی خاک خشک است که از طریق برونویابی نمودار خطی منطبق بر تغییرات چگالی دوغاب برحسب کسر آب محاسبه و برابر با عرض از مبدأ نمودار مذکور و در محدوده تقریبی چگالی سیلیکون یعنی $2/65$ گرم بر سانتیمتر مکعب لحظه می‌شود. χ_w درصد حجمی آب در خاک اشباع است که با استفاده از نمودار خطی فوق‌الذکر و برابر با مقدار کسر آب متناظر با مقدار چگالی خاک اشباع و برابر با $45/0$ خواهد بود. فرمولاسیون مورد استفاده در محاسبه دبی حجمی دوغاب عبوری به قرار زیر است:

$$Q_{mix} = V \times 1/4\pi \times D^2 \quad (5)$$

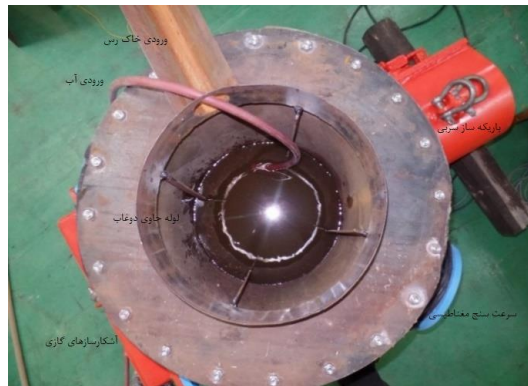
مقایسه نتایج شبیه‌سازی و تجربی را نشان می‌دهد.



شکل ۷- مقایسه تغییرات دز معادل نرمالیزه شده بر حسب چگالی دوغاب دروضعت چشمۀ افقی و گشودگی باریکه‌ساز مستطیلی به‌ازای تابش‌های گسیلی از بخش جلویی چشمۀ در عمق ۷ سانتیمتر حاصل از داده‌گیری تجربی و شبیه‌سازی.

۲-۳- نتایج شبیه‌سازی

در ادامه و پس از اخذ تایید اعتبار شبیه‌سازی، نوبت به انجام فرایند شبیه‌سازی برای کلیه حالات ۴ گانه چشمۀ افقی/گشودگی مستطیلی، چشمۀ افقی/گشودگی مخروطی، چشمۀ عمودی/گشودگی مستطیلی، و چشمۀ عمودی/گشودگی مخروطی رسید. به‌ازای تمام این حالات هندسی آهنگ شمارش در ۳ وضعیت سطح فعل چشمۀ جلویی، میانی و انتهایی طی فرایند شبیه‌سازی محاسبه چشمۀ در یکی از ۴ عمق قرارگیری ۵، ۱۰، ۱۵ و ۲۰ سانتیمتر از حفاظ سربی قرار داده شد. در این بخش و ضمن حفظ مشخصات هندسی، ابعادی و جنس لوله، محتوای دوغاب درون آن، آشکارسازهای گازی، فواصل نسبی حفاظ سربی و آشکارساز و لوله، تغییرات دز معادل بر حسب چگالی دوغاب محاسبه گردید. همچنان از تالی F8 در شبیه‌سازی به منظور محاسبه آهنگ شمارش دو آشکارساز گایگر-مولر استوانه‌ای با طول ۲۷ سانتیمتر و قطر ۲/۲۸ سانتیمتر استفاده شد. کلیه شبیه‌سازی‌ها با 10^{-8} ذره و با خطای بیشینه ۱٪ برای مقادیر چگالی بین ۱ و ۱/۶ گرم بر سانتیمتر مکعب مربوط به دوغاب آب و خاک رس انجام شد. در نمودار شکل (۸) نتایج شبیه‌سازی در چهار وضعیت مختلف هندسی یادشده نشان داده شده است.



شکل ۶- نمایی از سامانه داده‌گیری تجربی موجود در آزمایشگاه

۳- نتایج

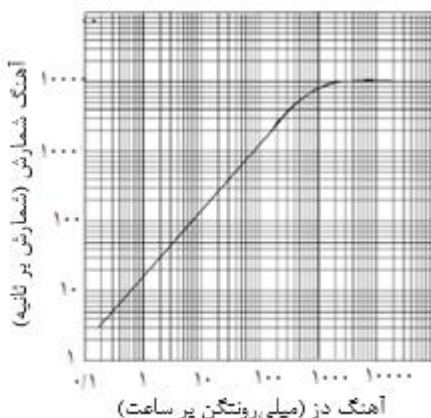
۳-۱- نتایج اعتبارسنجی شبیه‌سازی

در ابتدا و به‌منظور اعتبارسنجی شبیه‌سازی در محیط MCNPX نیاز به مقایسه این نتایج به‌ازای حالات هندسی و ابعادی مشابه با یک نمونه معتبر احساس گردید. بدین منظور و با توجه به باریکه‌ساز موجود در آزمایشگاه، تغییرات دز معادل برآششده بر حسب چگالی دوغاب در وضعیت قرارگیری افقی چشمۀ کیالت ۲۰۵ با اکتیویته ۶۰- کوری درون باریکه‌سازی با دهانه گشودگی مستطیلی در محیط شبیه‌سازی و طی فرایند داده‌گیری تجربی بدست آمد. در هر دو این موارد صرفاً تابش‌های ناشی از بخش جلویی چشمۀ واقع در عمق ۷ سانتیمتر از حفاظ سربی استوانه‌ای در شمارش آشکارسازهای گازی گایگر-مولر دخیل بودند. تالی مورد استفاده در شبیه‌سازی، F8، جهت محاسبه آهنگ شمارش دو آشکارساز گایگر-مولر استوانه‌ای با طول ۲۷ سانتیمتر و قطر ۲/۲۸ سانتیمتر استفاده گردید. کلیه شبیه‌سازی‌ها با 10^{-8} ذره و با خطای بیشینه ۱٪ برای مقادیر چگالی بین ۱ و ۱/۶ گرم بر سانتیمتر مکعب مربوط به دوغاب آب و خاک رس انجام شد. نمودار شکل (۷)

شیوه‌سازی صحه گذاشته و استفاده از سایر نتایج شبیه‌سازی برای رسیدن به ساختار هندسی و ابعادی بهینه باریکه‌ساز چشمی را توجیه می‌کند.

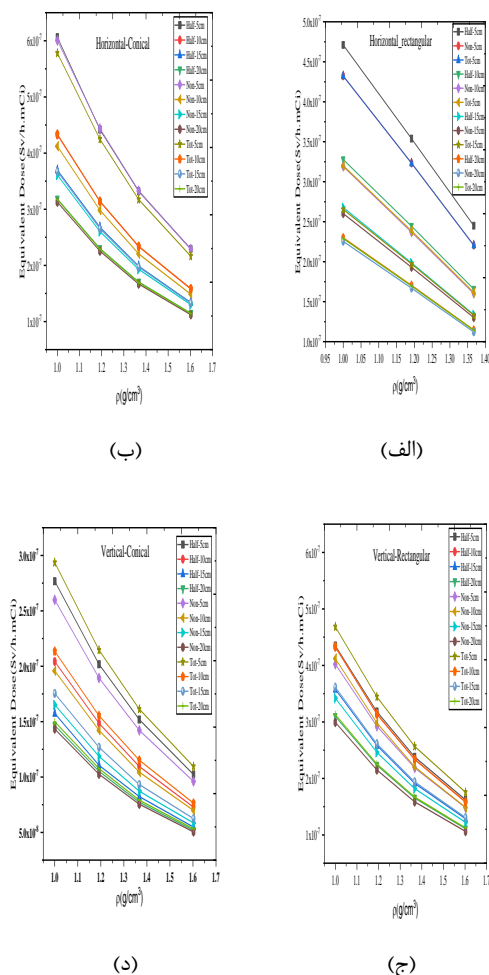
در تعیین بیشترین توان تفکیک بین مقادیر مختلف چگالی دوغاب از یک طرف گرادیان تغییرات شمارش بر حسب چگالی و از طرف دیگر خطای ناشی از آمار شمارش مهم است. با توجه به نمودار شکل (۸) وضعیت قرارگیری چشمی افقی درون باریکه‌ساز با بیشینه همزمان گرادیان و آمار شمارش به ترتیب برای تابش‌های ناشی از نیم، جلو و تمام چشمی مواجه است که با کاهش عمق نیز افزایش می‌یابد. در تمام وضعیت‌های یادشده گشودگی دهانه باریکه‌ساز مخروطی نسبت به مستطیلی از حساسیت و توان تفکیک بالاتری برخوردار است.

با احتساب دامنه شمارشی معقول از مرتبه بزرگی ۱۰۰۰ و با بهره‌گیری از نمودارهای کالیبراسیونی دز بر حسب شمارش، دستیابی به مقدار آهنگ دز ۶/۵ میکروسیورت بر ساعت و در ادامه بازه فعالیت پرتوزایی ۲۶ تا ۵۲ میلی‌کوری از چشمی کبالت-۶۰ متناظر با مقادیر چگالی دوغاب ۱ و ۱/۶ گرم بر سانتیمتر نیاز است.



شکل ۹- منحنی کالیبراسیون تغییرات دزمعادل برحسب شمارش در آشکارساز گایگر-مولر [۲۳].

براساس استاندارد ملی پایه حفاظت در برابر اشعه ضروری است به فاصله ۵ سانتیمتری باریکه‌ساز در هیچ جایی مقدار آهنگ دز از ۵۰۰ میکروسیورت بر ساعت تجاوز نکند. با استفاده از نرم‌افزارهای محاسباتی برخط معتبر [۲۴]، بازای عمق‌های مختلف مقدار آهنگ دز در این فاصله از باریکه‌ساز سربی و در دو حالت حدی فعالیت ۲۶ و ۵۲ میلی‌کوری محاسبه و در جدول ۱ نشان داده شد.



شکل ۸- تغییرات دز معادل برحسب چگالی دوغاب دروضعیت (الف) چشمی افقی و گشودگی باریکه‌ساز مستطیلی، (ب) چشمی افقی و گشودگی باریکه‌ساز مخروطی، (ج) چشمی عمودی و گشودگی باریکه‌ساز مستطیلی و (د) چشمی عمودی و گشودگی باریکه‌ساز مخروطی بهازای تابش‌های گسیلی از بخش جلویی، نیم و کل چشمی در عمق‌های مختلف.

۳-۳- استخراج پارامترهای بهینه

معادلات برآش اعمالی بر نمودار شکل (۷) می‌توان مبنای کمی مناسبی را برای صحت‌سنجی اعتبار شبیه‌سازی ارائه دهد. اختلاف نسبی درصدی مقادیر دز معادل برآش شده برای این دو نمودار به قرار زیر است:

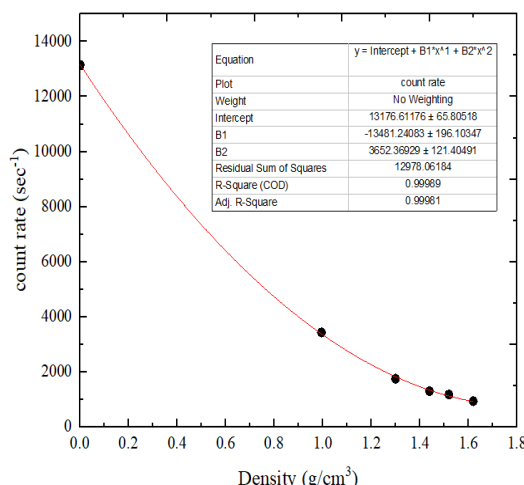
$$\frac{Sim - Exp}{Sim} (\%) = \begin{cases} 0.99 \\ 26.32 \end{cases} \quad (8)$$

اختلاف مقادیر شبیه‌سازی و تجربی با افزایش چگالی دوغاب روندی افزایشی را دارد و روند کلی تغییرات شمارش برای این دو وضعیت در توافق با یکدیگر است که بر اعتبار

۴-۳- نتایج تجربی

با تعبیه باریکه‌ساز بهینه و آشکارسازهای گازی حول بدنه غلظت‌سنچ هسته‌ای مطابق شکل (۱۰) و آماده‌سازی مقادیر مختلف چگالی دوغاب امکان تست و داده‌گیری تجربی برای مقادیر مختلف چگالی دوغاب فراهم و نتایج در جدول ۲ نشان داده شده است.

داده جدول فوق همواره با خطای ناشی از آمار شمارش برابر با جذر مقدار شمارشی همراه است. در ادامه و همانگونه که در شکل (۱۱) نشان داده شده است با استفاده از این مقادیر نرخ شمارش ثبت شده، منحنی کالیبراسیون سامانه غلظت سنچ هسته‌ای لایروب ترسیم گردید.



شکل ۱۱- منحنی کالیبراسیون بخش هسته‌ای غلظت‌سنچ هسته‌ای لایروب

در انتها نیز نتایج کالیبراسیون بخش مغناطیسی غلظت‌سنچ به قرار زیر در جدول ۳ قابل مشاهده است.

جدول ۳- نتایج کالیبراسیون بخش مغناطیسی غلظت‌سنچ لایروب.

عدم قطعیت در اندازه-گیری	درصد خطای اندازه-گیری	مدت زمان (ثانیه)	حجم عبوری اندازه-گیری شده (لیتر)	حجم عبوری مرتع (لیتر)	کسر مقیاس کل (%)	ردیف
٪۰/۲۶	۰/۲۰	۱۰۰۳	۵۰۲۳۳	۵۰۱۳۱	۱۰	۱
	۰/۱۹	۱۰۴۱	۱۳۰۲۰۷	۱۳۰۱۱۱	۲۵	۲
	۰/۰۴	۱۰۰۰	۲۵۰۱۰۶	۲۵۰۰۱۱	۵۰	۳
	۰/۱۱	۱۰۰۰	۳۷۵۵۰۰	۳۷۵۱۰۰	۷۵	۴
	-۰/۱۶	۱۰۰۰	۴۹۹۰۱۱	۴۹۹۸۰۷	۱۰۰	۵

جدول ۱- آهنگ در فاصله ۵ سانتیمتری از حفاظ کروی سربی حول چشم کبات-۶۰ در بازه تغییرات فعالیت پرتوزایی ۲۹ تا ۵۲ میلی‌کوری.

		آهنگ در فاصله ۵ سانتیمتری از حفاظ کروی فرضی حول چشم	(میکروسیورت بر ساعت)		
عمق (سانتیمتر)		۵	۱۰	۱۵	۲۰
فعالیت	۲۶	۲۱۳۷/۷۹	۵۴/۲۶	۱/۵۱	.۰/۰۵
پرتوزایی (میلی-کوری)	۵۲	۴۲۷۵/۵۸	۱۰۸/۵۳	۲/۰۱	.۰/۰۹

با توجه به نتایج محاسباتی فوق عمق مناسب بین ۵ تا ۱۰ سانتیمتر است که با تکرار محاسبات برخط و با اعمال محدودیت تجاوز در از مقدار ۵۰۰ میکروسیورت بر ساعت عمق بهینه ۷ سانتیمتر پرتوزایی فعالیت گردید.



شکل ۱۰- غلظت‌سنچ هسته‌ای بهینه‌سازی شده و مورد استفاده جهت داده‌گیری تجربی

جدول ۲- داده تجربی سامانه غلظت سنج لایروب

میانگین نرخ شمارش در شمارش در (ثانیه)	چگالی دوغاب (گرم بر سانتیمترمکعب)					
	۰/۰۰۱۲۵	۰/۹۹۵	۱/۳	۱/۴۴	۱/۵۲	۱/۶۲
۱ آشکارساز	۵۹۲۲	۱۵۷۳	۸۱۳	۶۰۵	۵۶۹	۴۴۱
۲ آشکارساز	۷۲۲۳	۱۸۵۹	۹۳۷	۶۹۱	۶۰۸	۴۹۴
مجموع آشکارسازهای ۱ و ۲	۱۳۱۵۵	۳۴۳۲	۱۷۵۰	۱۲۹۶	۱۱۷۷	۹۳۵

گردید تا حالت بهینه ابعادی و هندسی باریکه‌ساز در ادامه و براساس داده‌های خروجی موجود در شکل (۸) استخراج گردد. در ادامه و بهمنظور رسیدن به پاسخ بهینه مربوط به عمق قرارگیری چشمۀ کبالت ۶۰ و نیز میزان فعالیت پرتوزایی مورد نیاز، محاسبات اینمی پرتوی انجام گرفت. آنچه در انتها و پس از ساخت و نصب باریکه‌ساز بهینه نهایی بر روی لوله حاوی دوغاب با مقادیر مختلف چگالی در آزمایشگاه صورت پذیرفت گویای این مهم است که نمونه بهینه و بومی‌سازی شده این سیستم هسته‌ای قادر است با درصد خطای پایین (مطابق با نمودار شکل ۱۱) امکان بکارگیری همزمان با واحد مغناطیسی را جهت اندازه‌گیری آنلاین مقادیر دبی حجمی خاک اشباع و دبی جرمی خاک خشک در یک سیستم لایروب فراهم کند.

۴- نتیجه‌گیری

ارائه سیستم غلظت‌سنج هسته‌ای بهینه لایروب بهمنظور محاسبات دقیق مالی از اهمیت ویژه‌ای برخوردار است. در مورد این واحد هسته‌ای آنچه به‌طور معمول مورد استفاده است بهصورت جعبه سیاهی بدون انتشار اطلاعات از طرف شرکت‌های معتبر بین‌المللی باقی می‌ماند. در این کار تحقیقاتی و با هدف ارائه یک سیستم بومی و بهینه‌سازی شده از حیث ابعاد و هندسه باریکه‌ساز در کنار نوع و فعالیت پرتوزایی چشمۀ رادیواکتیو شبیه‌سازی مونت‌کارلو با کد MCNP صورت پذیرفت.

با توجه به اعتبارسنجی صورت گرفته برای شبیه‌سازی مطابق با داده‌های ارائه شده در شکل (۷) این امکان فراهم

مراجع

- [1] <http://psanjeshp.ir>.
- [2] F.R. Bryan, and G.A. Nahstoll. "An Industrial Application of Geiger-Müller Counters to the Analysis of Phosphorus in Steels." *JOSA* 38, no. 6 (1948): 510-517.
- [3] D. Arbutina, and A. Vasić-Milovanović. "Improving the geiger muller counter characteristics by optimizing the anode and cathode radius dimensions." *IEEE Transactions on Nuclear Science* 67, no. 10 (2020): 2231-2237.
- [4] C.M. Barbosa, H.O. Kenup-Hernandes, C. Raitz, R.S.de.F. Dam, W.L. Salgado, I.C.B. Lima, D. Braz, and C.M. Salgado. "Development of a non-invasive method for monitoring variations in salt concentrations of seawater using nuclear technique and Monte Carlo simulation." *Applied Radiation and Isotopes* 174 (2021): 109784.
- [5] G.A. Johansen, and P. Jackson. "Salinity independent measurement of gas volume fraction in oil/gas/water pipe flows." *Applied Radiation and Isotopes* 53, no. 4-5 (2000): 595-601.
- [6] M.B. Holstad, "Gamma-ray scatter methods applied to industrial measurement systems." No. NEI-NO--1551. Bergen University. Dept. of Physics and Technology, (2004).
- [7] C. Sætre, G.A. Johansen, and S.A. Tjugum. "Salinity and flow regime independent multiphase flow measurements." *Flow Measurement and Instrumentation* 21, no. 4 (2010): 454-461.
- [8] C.M. Salgado, L.E.B. Brandão, C.M.N.A. Pereira, and W.L. Salgado. "Salinity independent volume fraction prediction in annular and stratified (water–gas–oil) multiphase flows using artificial neural networks." *Progress in Nuclear Energy* 76 (2014): 17-23.
- [9] O. Farid, B. Qi, S. Uribe, and M. Al-Dahhan. "New dual modality technique of gamma-ray densitometry (GRD) and optical fiber probe (OFP) to investigate line-averaged diameter profiles of gas, liquid, and solid holdups along the height of a slurry bubble column." *Chemical Engineering Science* (2023): 119032.
- [10] W.L. Salgado, R.S.de.F. Dam, T.P. Teixeira, C.C. Conti, and C.M. Salgado. "Application of artificial intelligence in scale thickness prediction on offshore petroleum using a gamma-ray densitometer." *Radiation Physics and Chemistry* 168 (2020): 108549.
- [11] R.S.de.F. Dam, M.C. Dos Santos, W.L. Salgado, B.L. da Cruz, R. Schirru, and C.M. Salgado. "Prediction of fluids volume fraction and barium sulfate scale in a multiphase system using gamma radiation and deep neural network." *Applied Radiation and Isotopes* 201 (2023): 111021.
- [12] H. Cember. "Introduction to health physics." (1969): xi+-422.
- [13] D.F. Swinehart. "The beer-lambert law." *Journal of Chemical Education* 39, no. 7 (1962): 333.
- [14] World Health Organization. "Radiation protection and the safety of radiation sources." (1996).

- [15] Y. Jiang, W. Jiang, and C. Zhang. "Simulation Research on Optimal Installation Position of partially-filled pipe Electromagnetic Flowmeter sensor." *In Journal of Physics: Conference Series*, vol. 1453, no. 1, p. 012074. IOP Publishing, 2020.
- [16] R. Sinha, C.J.J. Paredis, V. Liang, and P.K. Khosla. "Modeling and simulation methods for design of engineering systems." *J. Comput. Inf. Sci. Eng* 1, no. 1 (2001): 84-91.
- [17] A. Rosova, M. Behun, S. Khouri, M. Cehlar, V. Ferencz, and M. Sofranko. "Case study: the simulation modeling to improve the efficiency and performance of production process." *Wireless Networks* 28, no. 2 (2022): 863-872.
- [18] L. Waters. "MCNPX user's manual." *Los Alamos National Laboratory* 124 (2002).
- [19] L. Wielopolski, Z. Song, I. Orion, A.L. Hanson, and G. Hendrey. "Basic considerations for Monte Carlo calculations in soil." *Applied Radiation and Isotopes* 62, no. 1 (2005): 97-107.
- [20] B.E. Heinmiller. Review of ICRP Publication 60. No. AECL--10563. Atomic Energy of Canada Ltd., 1992.
- [21] R.J. Vetter, "ICRP Publication 103, The recommendations of the international commission on radiological protection." (2008): 445-446.
- [22] A.C. Upton. "The biological effects of low-level ionizing radiation." *Scientific American* 246, no. 2 (1982): 41-49.
- [23] https://www.gqelectronicsllc.com/forum/topic.asp?TOPIC_ID=4578.
- [24] www.radprocalculator.com.